

# Moleculaire diagnostiek; darmparasieten & Trichomonas -overzicht 2016-

*Theo Schuurs, moleculair bioloog*

*Lid namens WMDI / NVMM*

*Rob Koelewijn  
Jaap van Hellemond*

# 2013: Introductie fecespanel geschikt voor Mdx

## SKML-parasitologie

### Karakteristieken rondzending:

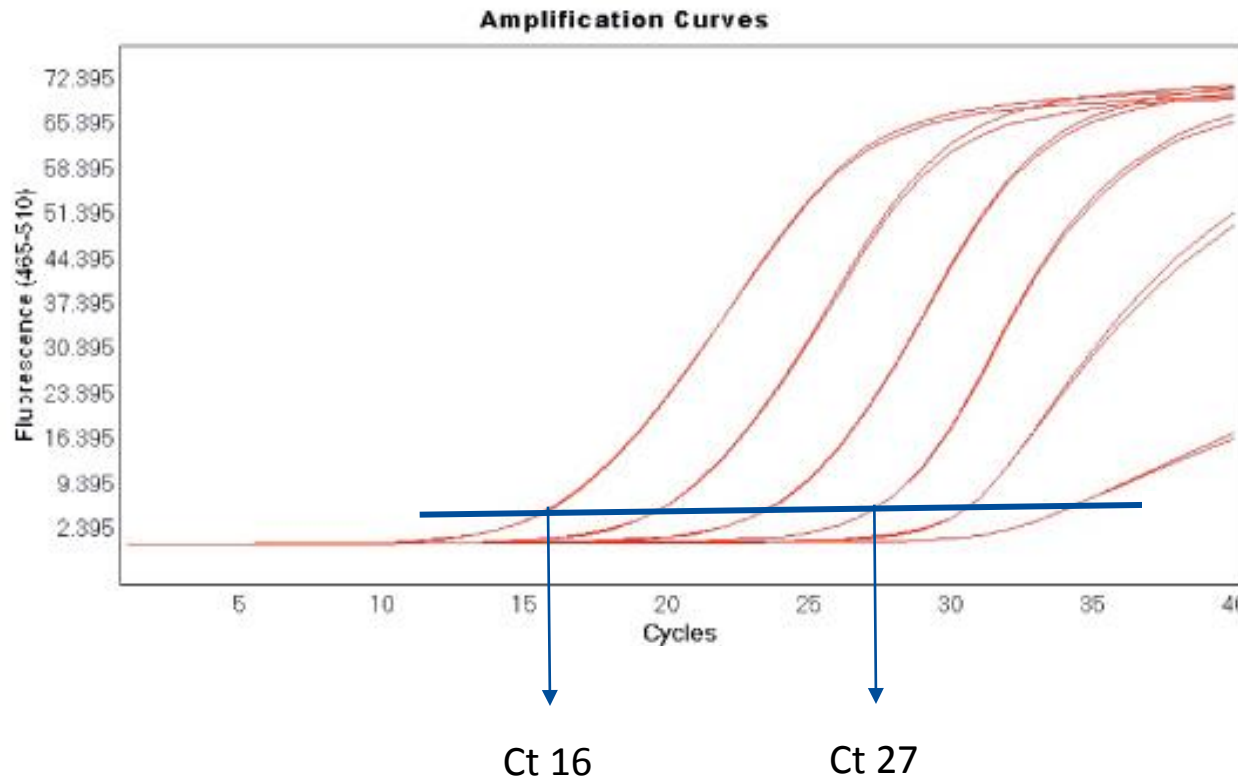
- pathogeen in feces
  - > geen gevriesdroogd materiaal
  - > geen DNA
  - > niet gefixeerd
- hoge kwaliteit: reproduceerbare en stabiele feces-monsters
- uitdagende loads geschikt voor moleculaire diagnostiek



Stichting Kwaliteitsbewaking  
Medische Laboratoriumdiagnostiek

Sectie Parasitologie

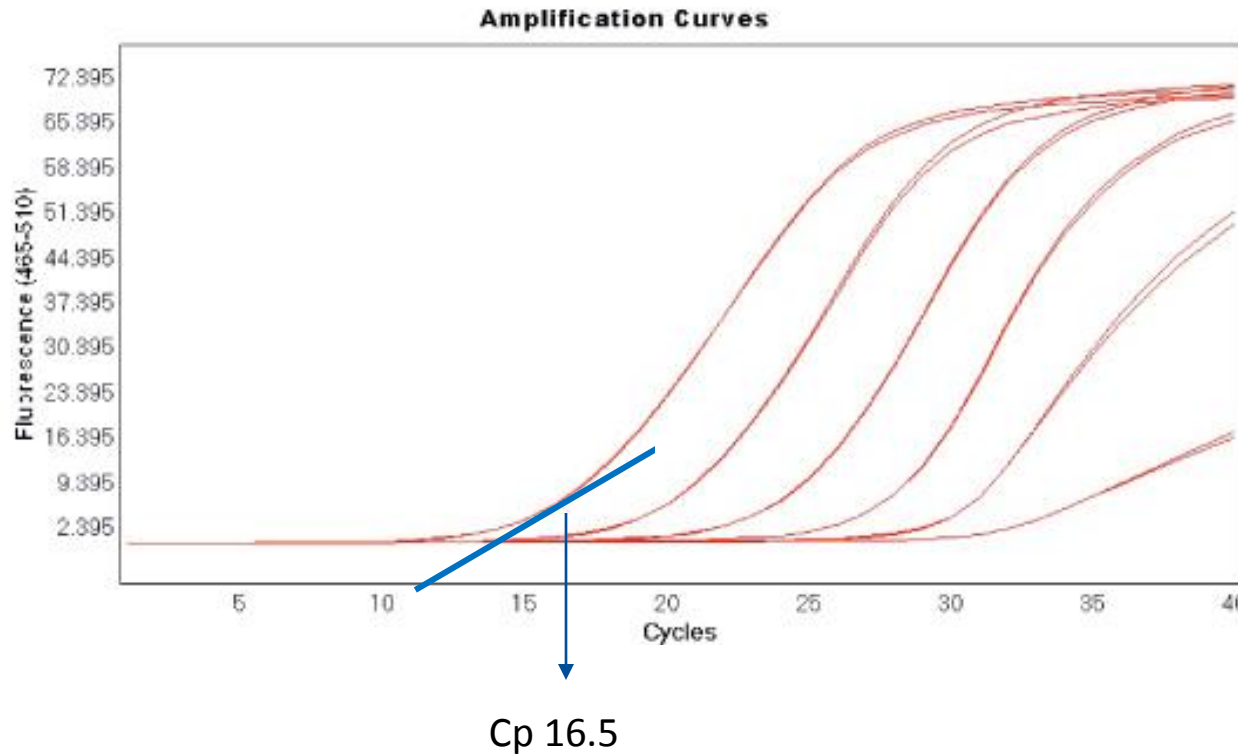
## Ct waarden



Stichting Kwaliteitsbewaking  
Medische Laboratoriumdiagnostiek

Sectie Parasitologie

## Cp waarden



Cq waarde = verzamelnaam voor Cp en Ct

## Overzicht 2016

|         | parasiet              | correct n (%) | totaal n * | Cq | opmerkingen                         |
|---------|-----------------------|---------------|------------|----|-------------------------------------|
| 2016.1A | <i>G. lamblia</i>     | 29 (100%)     | 29         | 25 |                                     |
|         | <i>D. fragilis</i>    | 27 (100%)     | 27         | 32 |                                     |
| 2016.1B | <i>E. histolytica</i> | 25 (83%)      | 30         | 33 | (5x fn) (2x fp: <i>G.lamblia</i> )  |
| 2016.1C | <i>D. fragilis</i>    | 26 (96%)      | 27         | 34 | (1x fn)                             |
| 2016.2A | <i>G. lamblia</i>     | 30 (100%)     | 30         | 29 |                                     |
|         | <i>D. fragilis</i>    | 26 (100%)     | 26         | 33 |                                     |
| 2016.2B | <i>D. fragilis</i>    | 26 (100%)     | 26         | 30 |                                     |
| 2016.2C | <i>G. lamblia</i>     | 27 (90%)      | 30         | 34 | (3x fn)                             |
| 2016.3A | <i>E. histolytica</i> | 27 (87%)      | 31         | 35 | (4x fn) (1x fp: <i>D.fragilis</i> ) |
|         | <i>Crypto spp.</i>    | 29 (97%)      | 30         | 31 | (1x fn) (1x fp: <i>D.fragilis</i> ) |
|         | <i>G. lamblia</i>     | 30 (100%)     | 30         | 28 | (3x fp: <i>D.fragilis</i> )         |

\*32 deelnemende laboratoria  
fn: fout-negatief  
fp: fout-positief

## Sensitiviteit 2013-2015

|      | <b><i>G. lamblia</i></b> | N  | <b><i>Crypto</i> spp.</b> | N  | <b><i>E. histolytica</i></b> | N  | <b><i>D. fragilis</i></b> | N  |
|------|--------------------------|----|---------------------------|----|------------------------------|----|---------------------------|----|
| 2013 | <b>99%</b>               | 85 | <b>92%</b>                | 38 | <b>77%</b>                   | 26 | <b>nd</b>                 | -  |
| 2014 | <b>96%</b>               | 84 | <b>100%</b>               | 54 | <b>83%</b>                   | 52 | <b>98%</b>                | 48 |
| 2015 | <b>98%</b>               | 85 | <b>96%</b>                | 57 | <b>97%</b>                   | 29 | <b>100%</b>               | 73 |

n = number of reported results (participants on samples)

***E. histolytica***  
**2016: 85%**



Stichting Kwaliteitsbewaking

Medische Laboratoriumdiagnostiek

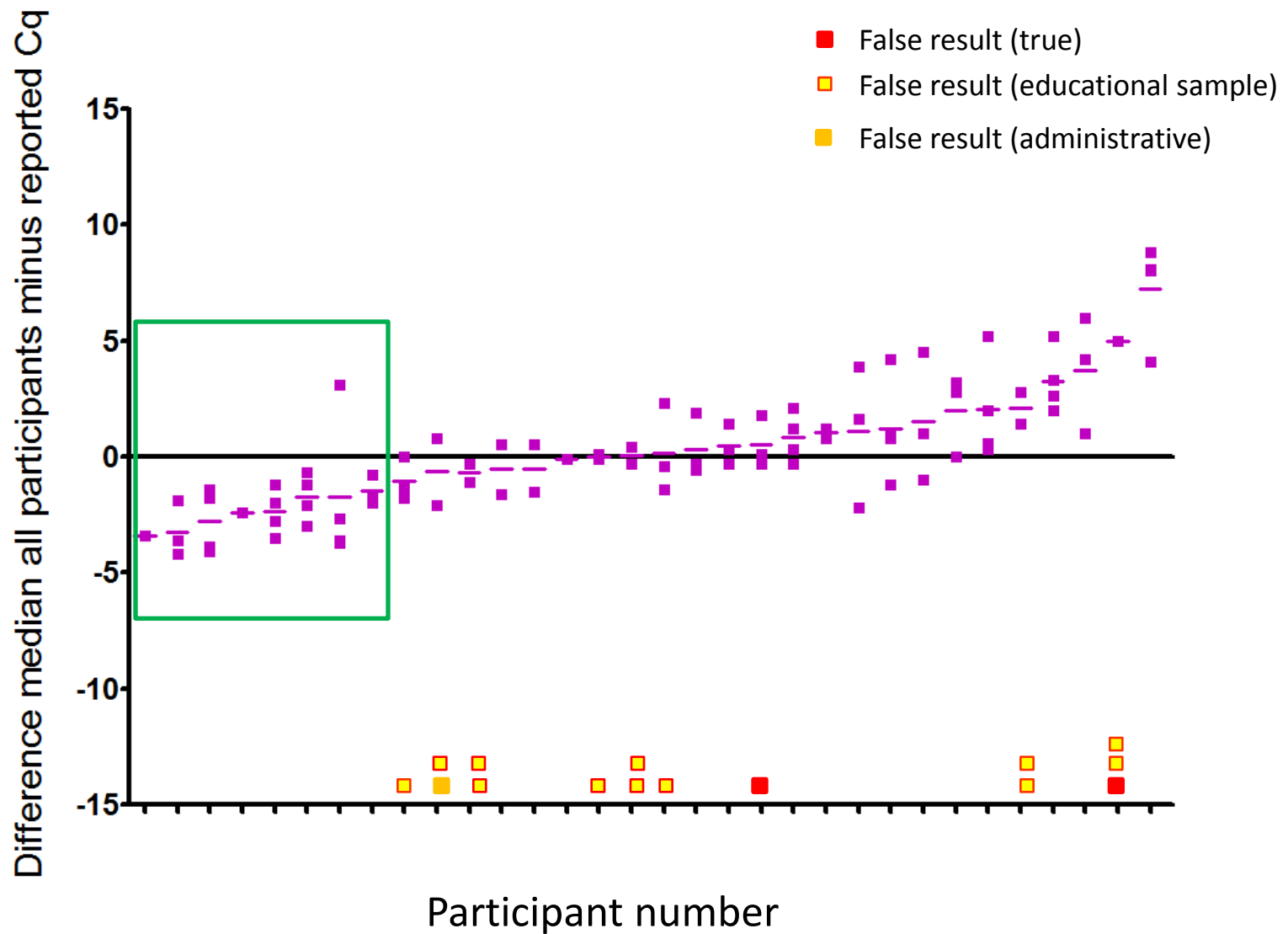
Sectie Parasitologie

## relatieve load diarreeverwekkers Izore (2012- 2016)

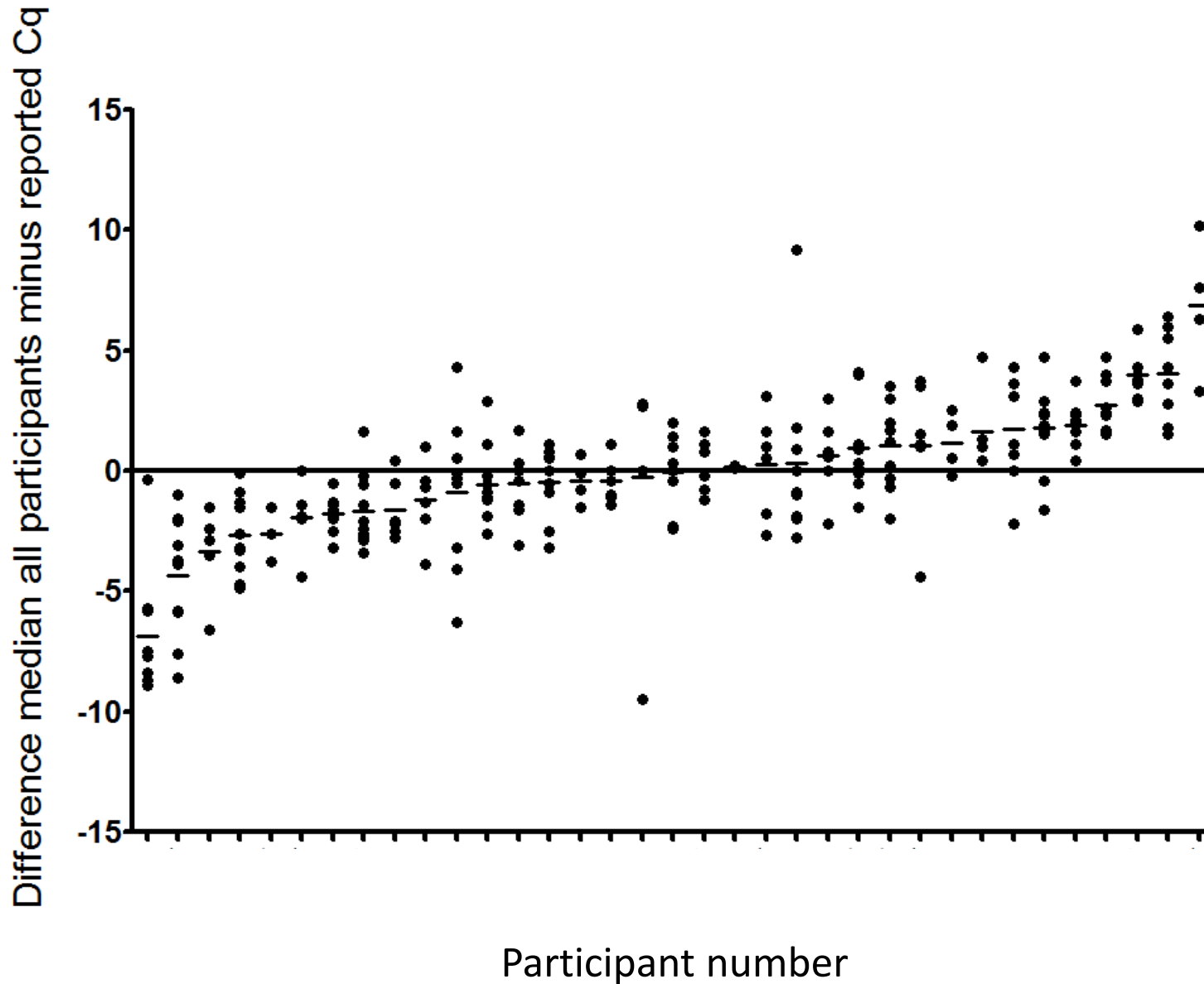
|                      | <b><i>G. lamblia</i></b> | n   | <b><i>Cryptosp. spp.</i></b> | n   | <b><i>E. histolytica</i></b> | n  | <b><i>D. fragilis*</i></b> | n  |
|----------------------|--------------------------|-----|------------------------------|-----|------------------------------|----|----------------------------|----|
| gemiddelde Cp waarde | <b>27.8</b>              | 929 | <b>31.5</b>                  | 401 | <b>31.0</b>                  | 17 | <b>26.7</b>                | 80 |

\* *D. fragilis*: alleen 2016

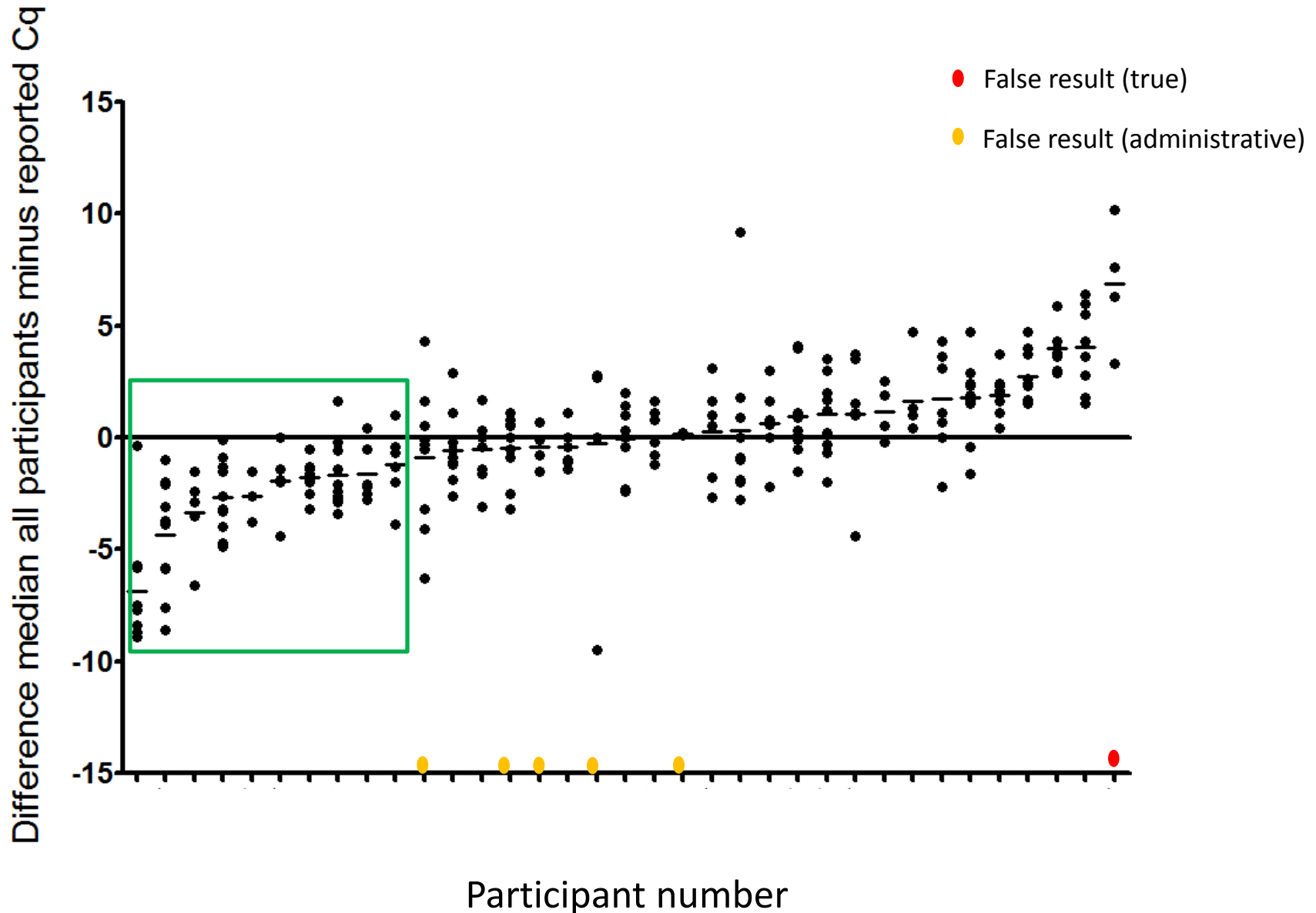
## Cq waarden *E.histolytica* per laboratorium, 2013-2015



## Cq waarden *G.lamblia* per laboratorium, 2013-2015



## Cq waarden *G.lamblia* per laboratorium, 2013-2015



# Werkwijze moleculaire diagnostiek intestinale parasieten

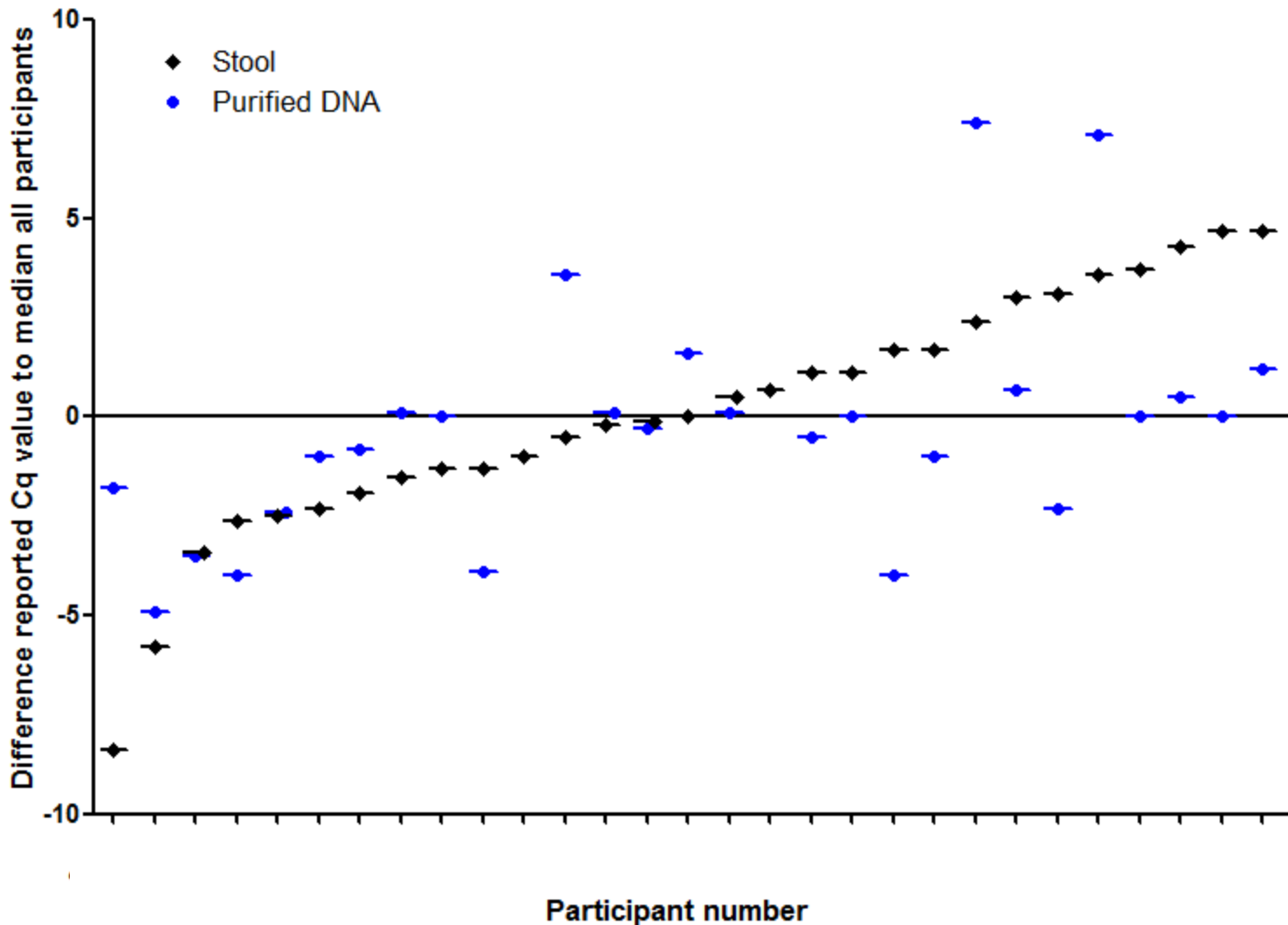


Stichting Kwaliteitsbewaking

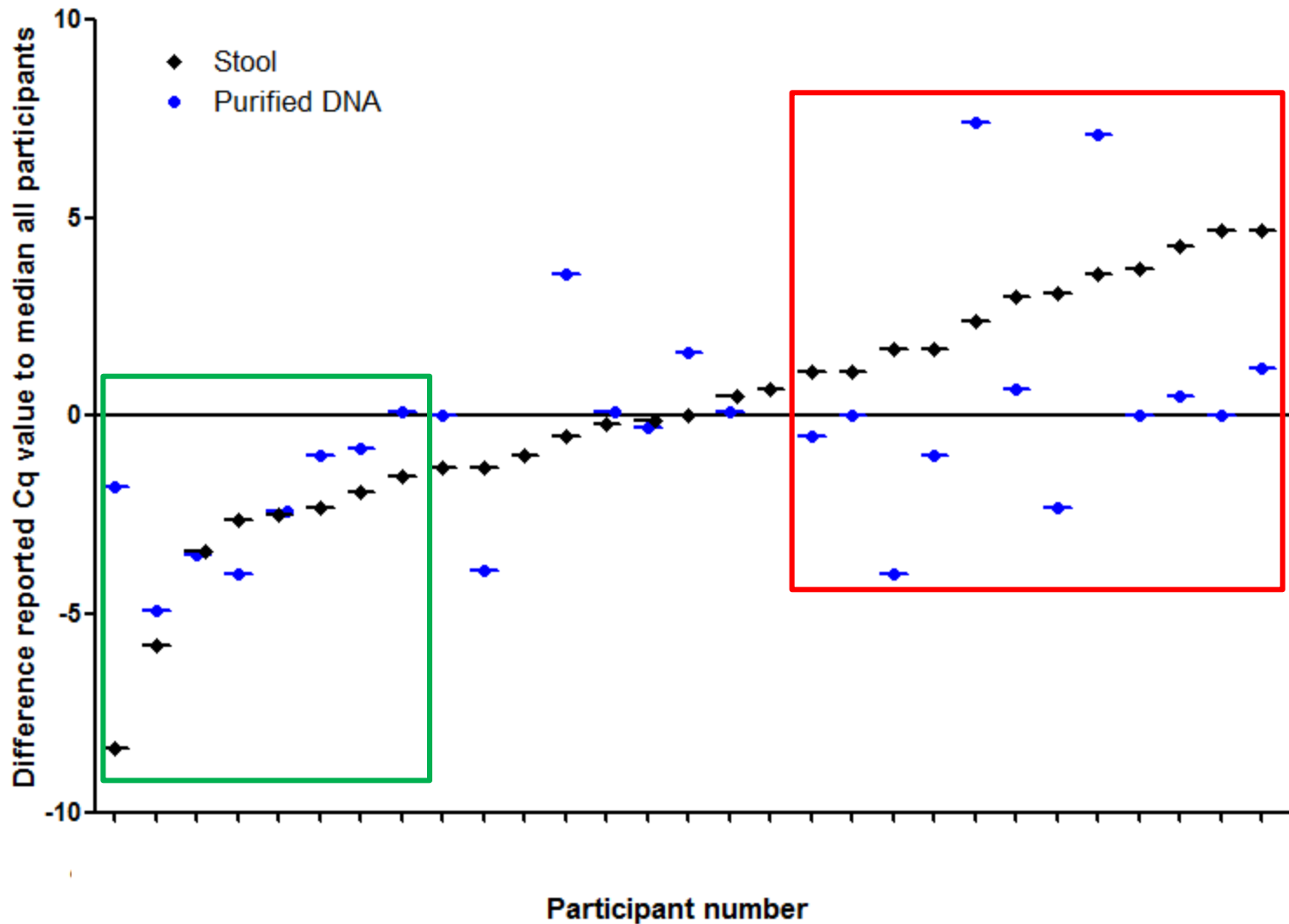
Medische Laboratoriumdiagnostiek

Sectie Parasitologie

## *G. lamblia* uitslagen feces en gezuiverd DNA



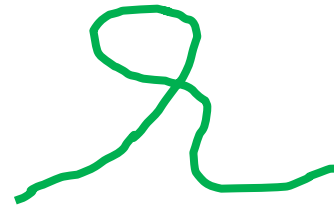
## *G. lamblia* uitslagen feces en gezuiverd DNA



# Werkwijze moleculaire diagnostiek intestinale parasieten



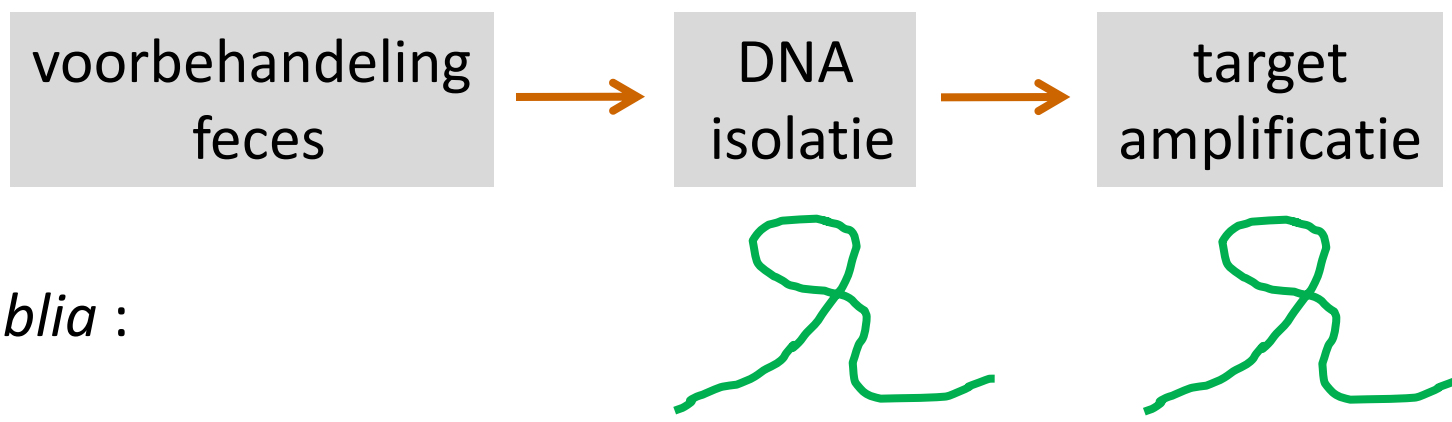
*G.lamblia* :



Stichting Kwaliteitsbewaking  
Medische Laboratoriumdiagnostiek

Sectie Parasitologie

# Werkwijze moleculaire diagnostiek intestinale parasieten



Stichting Kwaliteitsbewaking  
Medische Laboratoriumdiagnostiek

Sectie Parasitologie

# Verdiepingsvragen voorbehandeling feces

Verdiepingsvragen voorbehandeling feces:

- toevoegen lysisbuffer voor DNA isolatie?
- vries-dooi stap?
- overige voorbehandelingsstappen?
- volume feces in PCR



Stichting Kwaliteitsbewaking

Medische Laboratoriumdiagnostiek

Sectie Parasitologie

# *G.lamblia* : voorbehandeling feces

| Andere manier<br>voor behandeling<br>DNA-extract | extra "of-board"<br>proteolyse<br>behandeling | lysisbuffer<br>toevoegen<br>voorafgaande<br>aan DNA extractie | Vries-dooi<br>cyclus | Volume feces<br>in PCR |
|--|---|---|----------------------|------------------------|
| ja   | nee   | ja  | ja                   | 0,2                    |
| nee  | nee   | ja  | ja                   | 0,3                    |
| nee  | ja  | ja  | nee                  | 0,4                    |
| nee  | nee   | ja  | ja                   | 0,7                    |
| nee  | nee   | ja  | nee                  | 0,9                    |
| nee  | nee   | ja  | ja                   | 0,9                    |
| nee  | nee   | ja  | ja                   | 1,3                    |
| nee  | nee   | ja  | ja                   | 1,7                    |
| nee  | nee   | ja  | ja                   | 1,8                    |
| ja   | nee   | ja  | nee                  | 2,1                    |
| nee  | nee   | ja  | nee                  | 3                      |
| nee  | nee   | ja  | ja                   | 3,3                    |
| ja   | nee   | ja  | ja                   | 3,6                    |
| ja   | nee   | ja  | nee                  | 4                      |
| nee  | nee   | nee   | nee                  | 5                      |
| nee  | nee   | ja  | ja                   | 5                      |
| nee  | nee   | nee   | ja                   | 5                      |
| nee  | nee   | ja  | nee                  | 5,7                    |
| nee  | nee   | ja  | nee                  | 7,7                    |
| nee  | nee   | ja  | ja                   | 10,9                   |
| ja   | nee   | nee   | nee                  | 16,7                   |
| nee  | nee   | ja  | ja                   | 16,7                   |

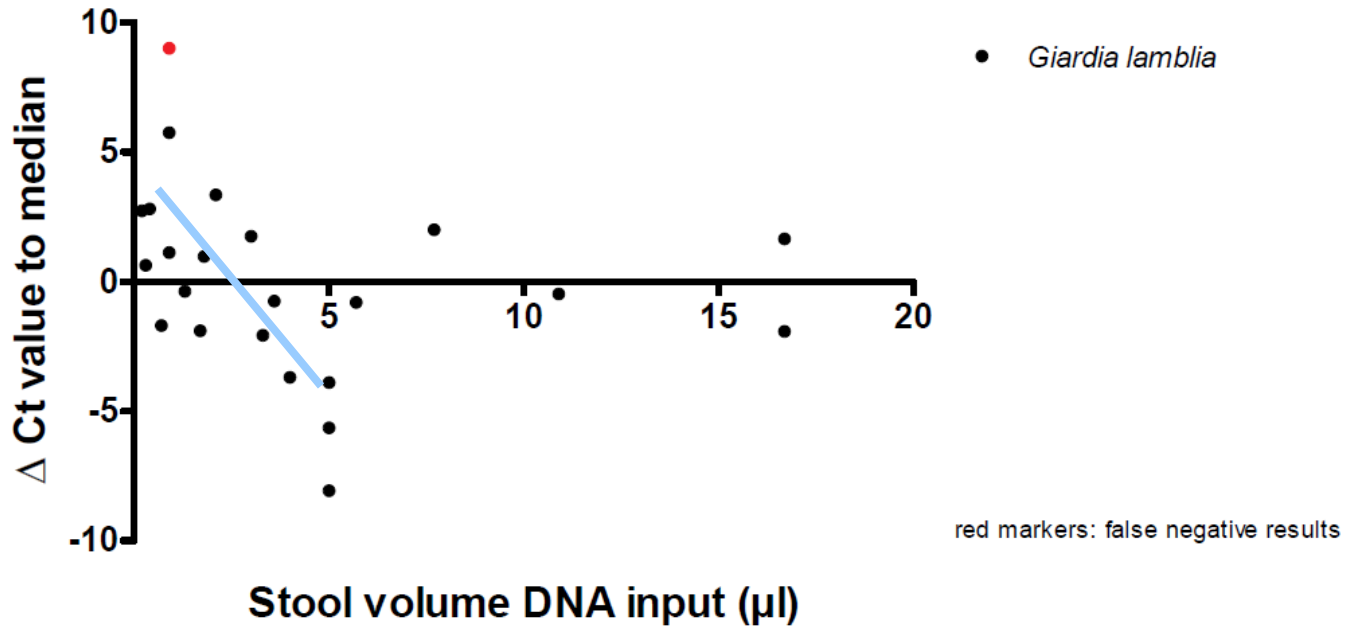
# G.lamblia : voorbehandeling feces

| ptp | 2016.1A  |          | 2016.2C  |          | 2016.3C  |          | Andere manier voor behandeling DNA-extract | extra "of-board" proteolyse behandeling | lysisbuffer toevoegen voorafgaande aan DNA extractie | Vries-dooi cyclus | Volume feces in PCR |
|-----|----------|----------|----------|----------|----------|----------|--|---|--|-------------------|---------------------|
|     | GL       | GL       | GL       | GL       | GL       | GL       |  |   |  |                   |                     |
|     | Δ<br>gem | Δ<br>med | Δ<br>gem | Δ<br>med | Δ<br>gem | Δ<br>med |  |   |  |                   |                     |
|     | 4,2      | 4,3      | 3,4      | 3,0      | -1,2     | -1,2     | 5,2  | 4,8                                     | ja   | ja                | 0,2                 |
|     | 2,8      | 2,9      | 0,0      | -0,4     | 0,5      | 0,5      | -0,1                                       | -0,5                                    | nee  | ja                | 0,3                 |
|     | 2,2      | 2,3      | 3,2      | 2,8      | 3,5      | 3,5      | 3,0  | 2,6                                     | ja   | nee               | 0,4                 |
|     | -2,8     | -2,8     | 1,4      | 1,0      | -2,1     | -2,1     | -2,5                                       | -2,9                                    | ja   | ja                | 0,7                 |
|     | 2,8      | 2,9      | 0,4      | 0,0      | -0,9     | -0,9     | 2,9  | 2,5                                     | nee  | nee               | 0,9                 |
|     | 6,9      | 7,0      |          |          |          |          | 4,9  | 4,5                                     | nee  | ja                | 0,9                 |
|     | -0,1     | 0,0      |          |          |          |          | 0,7  | 0,3                                     | nee  | ja                | 1,3                 |
|     | -2,3     | -2,3     | -2,0     | -2,4     | 0,6      | 0,6      | -3,4                                       | -3,8                                    | ja   | ja                | 1,7                 |
|     |          |          | -1,4     | -1,8     | 0,3      | 0,3      |  |   | nee  | ja                | 1,8                 |
|     |          |          | 1,4      | 1,0      | 0,9      | 0,9      | 1,4  | 1,0                                     | ja   | nee               | 2,1                 |
|     | 2,9      | 3,0      | 2,5      | 2,1      | 4,5      | 4,5      | 4,2  | 3,8                                     | ja   | nee               | 3                   |
|     | 2,9      | 3,0      | 1,3      | 0,9      | -0,3     | -0,3     | 3,8  | 3,4                                     | nee  | nee               | 3,3                 |
|     | 1,5      | 1,6      | -0,6     | -1,0     | -6,5     | -6,5     | -2,0                                       | -2,4                                    | nee  | ja                | 3,6                 |
|     | -1,7     | -1,7     | -2,2     | -2,6     | 2,1      | 2,1      | -0,4                                       | -0,8                                    | ja   | nee               | ja                  |
|     | -2,7     | -2,7     |          |          |          | -34,9    | -4,3                                       | -4,7                                    | ja   | nee               | nee                 |
|     | -3,7     | -3,7     | -3,4     | -3,8     | -5,3     | -5,3     | -2,4                                       | -2,8                                    | nee  | nee               | nee                 |
|     | -6,7     | -6,7     | -1,9     | -2,3     | -4,3     | -4,3     | -8,9                                       | -9,3                                    | nee  | nee               | ja                  |
|     | -7,8     | -7,8     | -9,5     | -9,9     | -8,2     | -8,2     | -6,0                                       | -6,4                                    | nee  | nee               | ja                  |
|     | -1,7     | -1,7     | 2,7      | 2,3      | -3,1     | -3,1     | -0,3                                       | -0,7                                    | nee  | nee               | nee                 |
|     | 1,5      | 1,6      | 1,6      | 1,2      | 2,0      | 2,0      | 3,6  | 3,2                                     | nee  | nee               | nee                 |
|     | 0,0      | 0,1      | -0,8     | -1,2     | -1,5     | -1,5     | 1,1  | 0,7                                     | nee  | nee               | ja                  |
|     | -2,7     | -2,7     | -3,1     | -3,5     | -0,3     | -0,3     | -0,8                                       | -1,2                                    | ja   | nee               | nee                 |
|     | 2,2      | 2,3      | 3,7      | 3,3      | 1,0      | 1,0      | 0,4  | 0,0                                     | nee  | nee               | ja                  |

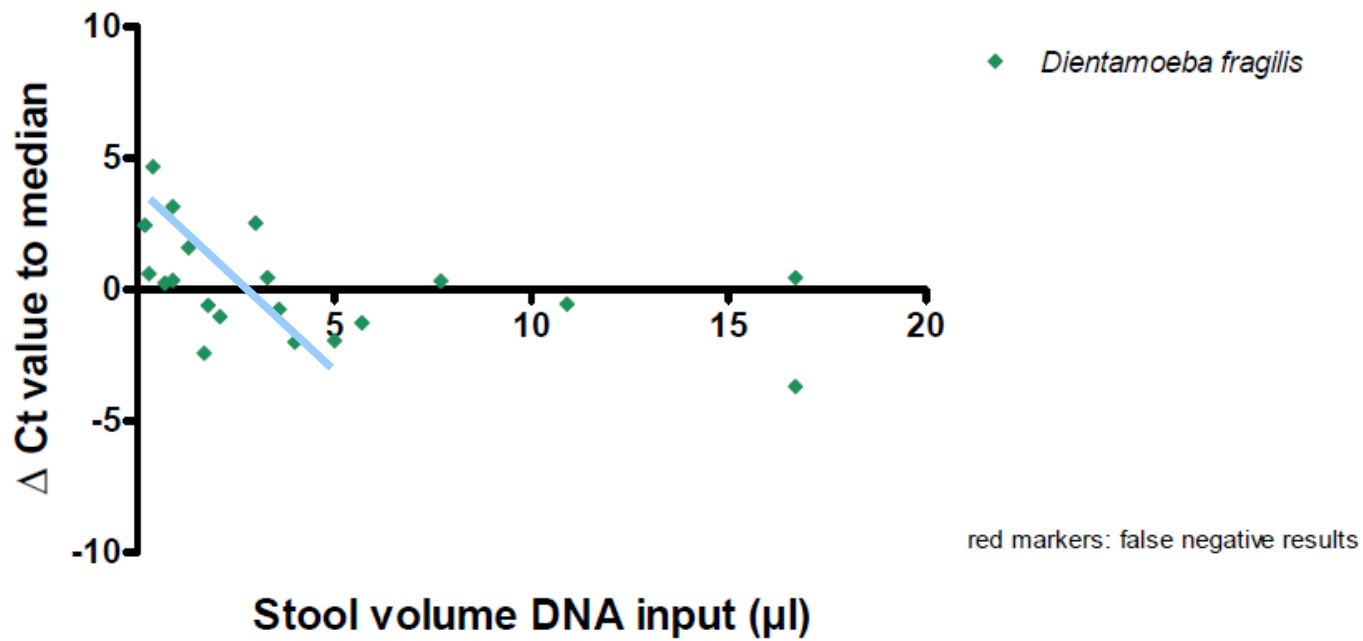
# G.lamblia : voorbehandeling feces

| ptp | 2016.1A  |          | GL       |          | GL       |          | GL       |          | GL       |          | GL  |     | Andere manier voor behandeling DNA-extract | extra "of-board" proteolyse behandeling | lysisbuffer toevoegen voorafgaande aan DNA extractie | Vries-dooi cyclus | Volume feces in PCR |
|-----|----------|----------|----------|----------|----------|----------|----------|----------|----------|----------|-----|-----|--|---|--|-------------------|---------------------|
|     | Δ<br>gem | Δ<br>med | ja  | nee |  |   |  |                   |                     |
|     | 4,2      | 4,3      | 3,4      | 3,0      | -1,2     | -1,2     | 5,2      | 4,8      | ja       | nee      | ja  | ja  | 0,2  |   |  |                   |                     |
|     | 2,8      | 2,9      | 0,0      | -0,4     | 0,5      | 0,5      | -0,1     | -0,5     | nee      | nee      | ja  | ja  | 0,3  |   |  |                   |                     |
|     | 2,2      | 2,3      | 3,2      | 2,8      | 3,5      | 3,5      | 3,0      | 2,6      | nee      | ja       | ja  | nee | 0,4  |   |  |                   |                     |
|     | -2,8     | -2,8     | 1,4      | 1,0      | -2,1     | -2,1     | -2,5     | -2,9     | nee      | nee      | ja  | ja  | 0,7  |   |  |                   |                     |
|     | 2,8      | 2,9      | 0,4      | 0,0      | -0,9     | -0,9     | 2,9      | 2,5      | nee      | nee      | ja  | nee | 0,9  |   |  |                   |                     |
|     | 6,9      | 7,0      |          |          |          |          | 4,9      | 4,5      | nee      | nee      | ja  | ja  | 0,9  |   |  |                   |                     |
|     | -0,1     | 0,0      | -2,0     | -2,4     | 0,6      | 0,6      | 0,7      | 0,3      | nee      | nee      | ja  | ja  | 1,3  |   |  |                   |                     |
|     | -2,3     | -2,3     | -1,4     | -1,8     | 0,3      | 0,3      | -3,4     | -3,8     | nee      | nee      | ja  | ja  | 1,7  |   |  |                   |                     |
|     |          |          | 1,4      | 1,0      | 0,9      | 0,9      | 1,4      | 1,0      | nee      | nee      | ja  | ja  | 1,8  |   |  |                   |                     |
|     | 2,9      | 3,0      | 2,5      | 2,1      | 4,5      | 4,5      | 4,2      | 3,8      | ja       | nee      | ja  | nee | 2,1  |   |  |                   |                     |
|     | 2,9      | 3,0      | 1,3      | 0,9      | -0,3     | -0,3     | 3,8      | 3,4      | nee      | nee      | ja  | nee | 3  |   |  |                   |                     |
|     | 1,5      | 1,6      | -0,6     | -1,0     | -6,5     | -6,5     | -2,0     | -2,4     | nee      | nee      | ja  | ja  | 3,3  |   |  |                   |                     |
|     | -1,7     | -1,7     | -2,2     | -2,6     | 2,1      | 2,1      | -0,4     | -0,8     | ja       | nee      | ja  | ja  | 3,6  |   |  |                   |                     |
|     | -2,7     | -2,7     |          |          | -34,9    |          | -4,3     | -4,7     | ja       | nee      | ja  | nee | 4  |   |  |                   |                     |
|     | -3,7     | -3,7     | -3,4     | -3,8     | -5,3     | -5,3     | -2,4     | -2,8     | nee      | nee      | nee | nee | 5  |   |  |                   |                     |
|     | -6,7     | -6,7     | -1,9     | -2,3     | -4,3     | -4,3     | -8,9     | -9,3     | nee      | nee      | ja  | ja  | 5  |   |  |                   |                     |
|     | -7,8     | -7,8     | -9,5     | -9,9     | -8,2     | -8,2     | -6,0     | -6,4     | nee      | nee      | nee | ja  | 5  |   |  |                   |                     |
|     | -1,7     | -1,7     | 2,7      | 2,3      | -3,1     | -3,1     | -0,3     | -0,7     | nee      | nee      | ja  | nee | 5,7  |   |  |                   |                     |
|     | 1,5      | 1,6      | 1,6      | 1,2      | 2,0      | 2,0      | 3,6      | 3,2      | nee      | nee      | ja  | nee | 7,7  |   |  |                   |                     |
|     | 0,0      | 0,1      | -0,8     | -1,2     | -1,5     | -1,5     | 1,1      | 0,7      | nee      | nee      | ja  | ja  | 10,9                                       |   |  |                   |                     |
|     | -2,7     | -2,7     | -3,1     | -3,5     | -0,3     | -0,3     | -0,8     | -1,2     | ja       | nee      | nee | nee | 16,7                                       |   |  |                   |                     |
|     | 2,2      | 2,3      | 3,7      | 3,3      | 1,0      | 1,0      | 0,4      | 0,0      | nee      | nee      | ja  | ja  | 16,7                                       |   |  |                   |                     |

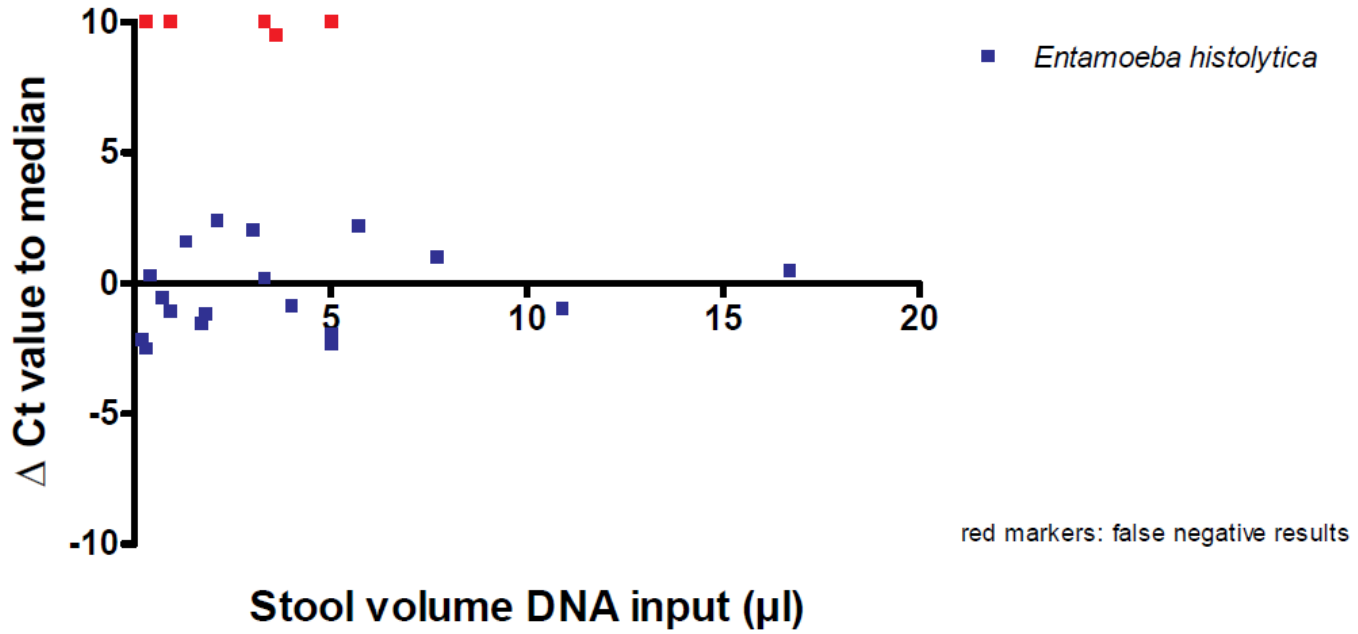
## *G. lamblia* : input PCR



## *D.fragilis* : input PCR



## *E.histolytica* : input PCR



# Samenvattend moleculaire rondzendingen feces-parasieten

Huidig:

- enorme variatie in gerapporteerde Cq waarden
- laboratoria met lage Cq waarden rapporteren minder fout-negatieven
- matige labscores zijn individueel terug te voeren op verminderd sensitieve PCR en/of DNA isolatie (incl. voorbehandeling)
- Giardia: matige labscores gerelateerd aan verminderde input in PCR

2017:

- gezuiverd DNA rondsturen (voorrang *E.histolytica*)



Stichting Kwaliteitsbewaking

Medische Laboratoriumdiagnostiek

Sectie Parasitologie

## overzicht *Trichomonas vaginalis* 2016

|         | parasiet             | correct n (%) | totaal n | Cq (spreiding) | opmerkingen     |
|---------|----------------------|---------------|----------|----------------|-----------------|
| 2016.1A | negatief             | 31 (100%)     | 31       | -              |                 |
| 2016.1B | <i>T. vaginalis</i>  | 19 (61%)      | 31       | 37 (33-40)     | (11x fout neg.) |
| 2016.1C | <i>T. vaginalis.</i> | 27 (87%)      | 31       | 36 (30-40)     | (3x fout neg.)  |
| 2016.2A | <i>T. vaginalis</i>  | 25 (86%)      | 29       | 34 (32-38)     | (4x fout neg.)  |
| 2016.2B | <i>T. vaginalis</i>  | 26 (90%)      | 29       | 35 (28-40)     | (3x fout neg.)  |
| 2016.2C | negatief             | 29            | 29       | -              |                 |



Stichting Kwaliteitsbewaking

Medische Laboratoriumdiagnostiek

Sectie Parasitologie

# overzicht *Trichomonas vaginalis* 2016

| 2016.1A | 2016.1B |                 |          |          | 2016.1C |                 |          |          | 2016.2A |                 |          |          | 2016.2B |                 |          |          | 2016.2C |
|---------|---------|-----------------|----------|----------|---------|-----------------|----------|----------|---------|-----------------|----------|----------|---------|-----------------|----------|----------|---------|
|         | TV      | Δ<br>gem<br>ref | Δ<br>gem | Δ<br>med |         |
| neg     | 37,3    | 2,0             | -0,2     | 0,0      | 35,9    | 1,5             | 0,3      | 0,0      | 32,2    | -1,9            | -2,3     | -1,8     | 32,3    | -2,2            | -2,6     | -2,2     | neg     |
| neg     | neg     |                 |          |          | neg     |
| neg     | 35,8    | 0,5             | -1,7     | -1,5     | 34,2    | -0,2            | -1,4     | -1,7     | 33      | -1,1            | -1,5     | -1,0     | 33,6    | -0,9            | -1,3     | -0,9     | neg     |
| neg     | mis     |                 |          |          | pos     |                 |          |          | pos     |                 |          |          | pos     |                 |          |          | neg     |
| neg     | pos     |                 |          |          | neg     |                 |          |          | 37,6    | 3,5             | 3,1      | 3,6      | 37      | 2,5             | 2,1      | 2,5      | neg     |
| neg     | neg     |                 |          |          | 37,6    | 3,2             | 2,0      | 1,7      | 37,6    | 3,5             | 3,1      | 3,6      | 39,5    | 5,0             | 4,6      | 5,0      | neg     |
| neg     | neg     |                 |          |          | 37,7    | 3,3             | 2,1      | 1,8      | neg     |                 |          |          | 28,2    | -6,3            | -6,7     | -6,3     | neg     |
| neg     | neg     |                 |          |          | 32,9    | -2,4            | -4,6     | -4,4     | 30,2    | -4,2            | -5,4     | -5,7     | 33      | -1,1            | -1,5     | -1,0     | neg     |
| neg     | 36,5    | 1,2             | -1,0     | -0,8     | 36,5    | 1,5             | 0,3      | 0,0      | 35,9    | 0,6             | -0,6     | -0,9     | 33,6    | -0,5            | -0,9     | -0,4     | neg     |
| neg     | neg     |                 |          |          | 37,2    | 1,9             | -0,3     | -0,1     | 40      | 5,6             | 4,4      | 4,1      | 34      | -0,1            | -0,5     | 0,0      | neg     |
| neg     | 37,2    | 1,9             | -0,3     | -0,1     | 39,4    | 4,1             | 1,9      | 2,1      | 36,5    | 2,1             | 0,9      | 0,6      | 33,8    | -0,3            | -0,7     | -0,2     | neg     |
| neg     | 36,9    | 1,6             | -0,6     | -0,4     | 36,9    | 1,4             | 0,2      | -0,1     | 35,8    | 1,4             | 0,2      | -0,1     | 35,3    | 1,2             | 0,8      | 1,3      | neg     |
| neg     | 39,2    | 3,9             | 1,7      | 1,9      | 39,2    | 3,9             | 1,7      | 1,9      | 35,9    | 1,5             | 0,3      | 0,0      | neg     |                 |          |          | neg     |
| neg     | neg     |                 |          |          | neg     |                 |          |          | pos     |                 |          |          | 35,8    | 1,7             | 1,3      | 1,8      | neg     |
| neg     | pos     |                 |          |          | neg     |                 |          |          | pos     |                 |          |          | 35,2    | 1,1             | 0,7      | 1,2      | neg     |
| neg     | neg     |                 |          |          | 35,4    | 1,0             | -0,2     | -0,5     | 36,0    | 1,6             | 0,4      | 0,1      | 33,4    | -0,7            | -1,1     | -0,6     | neg     |
| neg     | 35,4    | 1,0             | -0,2     | -0,5     | 37,6    | 3,2             | 2,0      | 1,7      | 34      | -0,1            | -0,5     | 0,0      | 32      | -2,5            | -2,9     | -2,5     | neg     |
| neg     | 40      | 4,7             | 2,5      | 2,7      | 36,0    | 1,6             | 0,4      | 0,1      | 34,4    | -0,1            | -0,4     | 0,1      | 37,9    | 3,4             | 3,0      | 3,4      | neg     |
| neg     | neg     |                 |          |          | 37,6    | 2,3             | 0,1      | 0,3      | 34,4    | 0,0             | -1,2     | -1,5     | 35,9    | 1,8             | 1,4      | 1,9      | neg     |
| neg     | 37,3    | 2,0             | -0,2     | 0,0      | 37,3    | 2,0             | -0,2     | 0,0      | 34,3    | -0,1            | -1,3     | -1,6     | 34,1    | 0,0             | -0,4     | 0,1      | neg     |
| neg     | neg     |                 |          |          | 38,5    | 3,2             | 1,0      | 1,2      | 35,7    | 1,3             | 0,1      | -0,2     | 36      | 1,9             | 1,5      | 2,0      | neg     |
| neg     | 38,5    | 3,2             | 1,0      | 1,2      | 38,4    | 3,1             | 0,9      | 1,1      | 37,1    | 2,7             | 1,5      | 1,2      | 32,6    | -1,5            | -1,9     | -1,4     | neg     |
| neg     | 38,4    | 3,1             | 0,9      | 1,1      | pos     |                 |          |          | pos     |                 |          |          | 36,9    | 2,8             | 2,4      | 2,9      | neg     |
| neg     | 38,8    | 3,5             | 1,3      | 1,5      | 38,8    | 3,5             | 1,3      | 1,5      | 34,0    | -0,4            | -1,6     | -1,9     | 34,5    | 0,0             | -0,4     | 0,0      | neg     |
| neg     | 36,0    | 0,7             | -1,5     | -1,3     | 36,0    | 0,7             | -1,5     | -1,3     | 32,0    | -2,4            | -3,6     | -3,9     | 34,5    | -1,6            | -2,0     | -1,6     | neg     |

## overzicht *Trichomonas vaginalis* 2016

|         | parasiet             | correct n (%) | totaal n | Cq (spreiding) | opmerkingen     |
|---------|----------------------|---------------|----------|----------------|-----------------|
| 2016.1A | negatief             | 31 (100%)     | 31       | -              |                 |
| 2016.1B | <i>T. vaginalis</i>  | 19 (61%)      | 31       | 37 (33-40)     | (11x fout neg.) |
| 2016.1C | <i>T. vaginalis.</i> | 27 (87%)      | 31       | 36 (30-40)     | (3x fout neg.)  |
| 2016.2A | <i>T. vaginalis</i>  | 25 (86%)      | 29       | 34 (32-38)     | (4x fout neg.)  |
| 2016.2B | <i>T. vaginalis</i>  | 26 (90%)      | 29       | 35 (28-40)     | (3x fout neg.)  |
| 2016.2C | negatief             | 29            | 29       | -              |                 |

Samenvattend:

- duidelijke relatie tussen relatieve load en aantal fout-negatieve resultaten
- enorme spreiding Cq waarden

2017:

- Deelnemers bevragen op gebruikte methoden/apparatuur



Stichting Kwaliteitsbewaking

Medische Laboratoriumdiagnostiek

Sectie Parasitologie